

# *Cystoderma amianthinum*

(Scop.) Fayod, *Anns Sci. Nat., Bot.*, sér. 7 9: 351 (1889)



Agaricaceae, Agaricales, Agaricomycetidae, Agaricomycetes, Agaricomycotina, Basidiomycota, Fungi

- ≡ *Agaricus amianthinus* Scop., *Fl. carniol.*, Edn 2 (Wien) 2: 434 (1772)
- ≡ *Agaricus amianthinus* Scop., *Fl. carniol.*, Edn 2 (Wien) 2: 434 (1772) var. **amianthinus**
- ≡ *Agaricus amianthinus* var. *broadwoodiae* Berk. & Broome, *Ann. Mag. nat. Hist.*, Ser. 5 3: 202 (1879)
- ≡ *Agaricus granulosa* var. *amianthinus* (Scop.) Fr., *Epicr. syst. mycol.* (Upsaliae): 18 (1838) [1836-1838]
- = *Agaricus rugosoreticulatum* F. Lorinser, *Öst. bot. Z.* 29: 23 (1879)
- ≡ *Armillaria amianthina* (Scop.) Kauffman, *Pap. Mich. Acad. Sci.* 2: 60 (1923) [1922]
- = *Armillaria rugosoreticulata* (F. Lorinser) Zeller [as '*rugoso-reticulata*'], *Mycologia* 25(5): 378 (1933)
- ≡ *Cystoderma amianthinum* (Scop.) Konrad & Maubl., *Icon. Select. Fung.* 6(3): pl. 238 (1927)
- ≡ *Cystoderma amianthinum* f. *album* (Maire) A.H. Sm. & Singer, *Pap. Mich. Acad. Sci.* 30: 112 (1945) [1944]
- ≡ *Cystoderma amianthinum* (Scop.) Fayod, *Anns Sci. Nat., Bot.*, sér. 7 9: 351 (1889) f. **amianthinum**
- ≡ *Cystoderma amianthinum* f. *olivaceum* Singer, *Pap. Mich. Acad. Sci.* 30: 111 (1945) [1944]
- ≡ *Cystoderma amianthinum* f. *rugosoreticulatum* (F. Lorinser) A.H. Sm. & Singer, *Pap. Mich. Acad. Sci.* 30: 110 (1945) [1944]
- ≡ *Cystoderma amianthinum* f. *rugosoreticulatum* (F. Lorinser) Bon [as '*rugulosoreticulatum*'], *Bull. trimest. Soc. mycol. Fr.* 86(1): 99 (1970)
- ≡ *Cystoderma amianthinum* (Scop.) Fayod, *Anns Sci. Nat., Bot.*, sér. 7 9: 351 (1889) var. **amianthinum**
- ≡ *Cystoderma amianthinum* var. *rugosoreticulatum* (F. Lorinser) Bon, *Docums Mycol.* 29(no. 115): 34 (1999)
- ≡ *Cystoderma longisporum* f. *rugosoreticulatum* (F. Lorinser) Heinem. & Thoen [as '*rugoso-reticulatum*'], *Bull. trimest. Soc. mycol. Fr.* 89(1): 31 (1973)
- = *Cystoderma rugosoreticulatum* (F. Lorinser) Wasser, *Ukr. bot. Zh.* 35(5): 516 (1978)
- ≡ *Lepiota amianthina* (Scop.) P. Karst., *Bidr. Känn. Finl. Nat. Folk* 32: 15 (1879)
- ≡ *Lepiota amianthina* var. *alba* Maire, in Rea, *Brit. basidiomyc.* (Cambridge): 76 (1922)
- ≡ *Lepiota amianthina* (Scop.) P. Karst., *Bidr. Känn. Finl. Nat. Folk* 32: 15 (1879) var. **amianthina**
- ≡ *Lepiota amianthina* var. *broadwoodiae* Berk. & Broome, *Ann. Mag. nat. Hist.*, Ser. 5 1: no. 1730 (1878)
- ≡ *Lepiota amianthina* var. *evae* Kavina, *Věda přírodní* 10: 198 (1929)
- ≡ *Lepiota granulosa* var. *amianthina* (Scop.) P. Kumm., *Führ. Pilzk.* (Zerbst): 136 (1871)
- = *Lepiota rugosoreticulata* (F. Lorinser) Sacc. [as '*rugoso-reticulata*'], *Syll. fung.* (Abellini) 9: 10 (1891)

## Material estudiado:

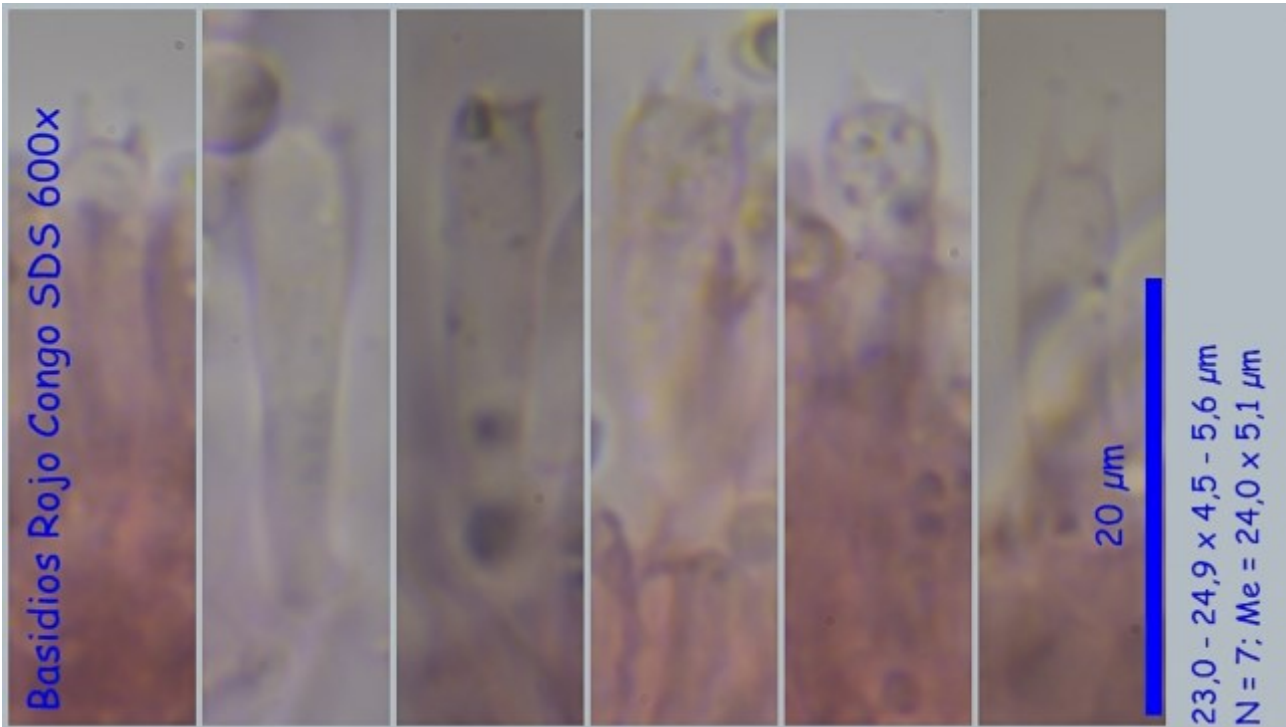
Francia, Aquitania, Urdós, Sansanet, 30T XN9942, 1.236 m, en musgo cubriendo totalmente tocón de *Abies* sp. o *Fagus sylvatica*, 27-IX-2014, leg. Dianora Estrada y Demetrio Merino, JA-CUSSTA: 8250.  
España, Jaén, Santa Elena, Corredera, 30S VH5450, 751 m, en suelo bajo encinas, 2-XII-2014, leg. Ángeles Carrillo, Dianora Estrada, Joaquín Fernández y Demetrio Merino, JA-CUSSTA: 8251.

## Descripción macroscópica:

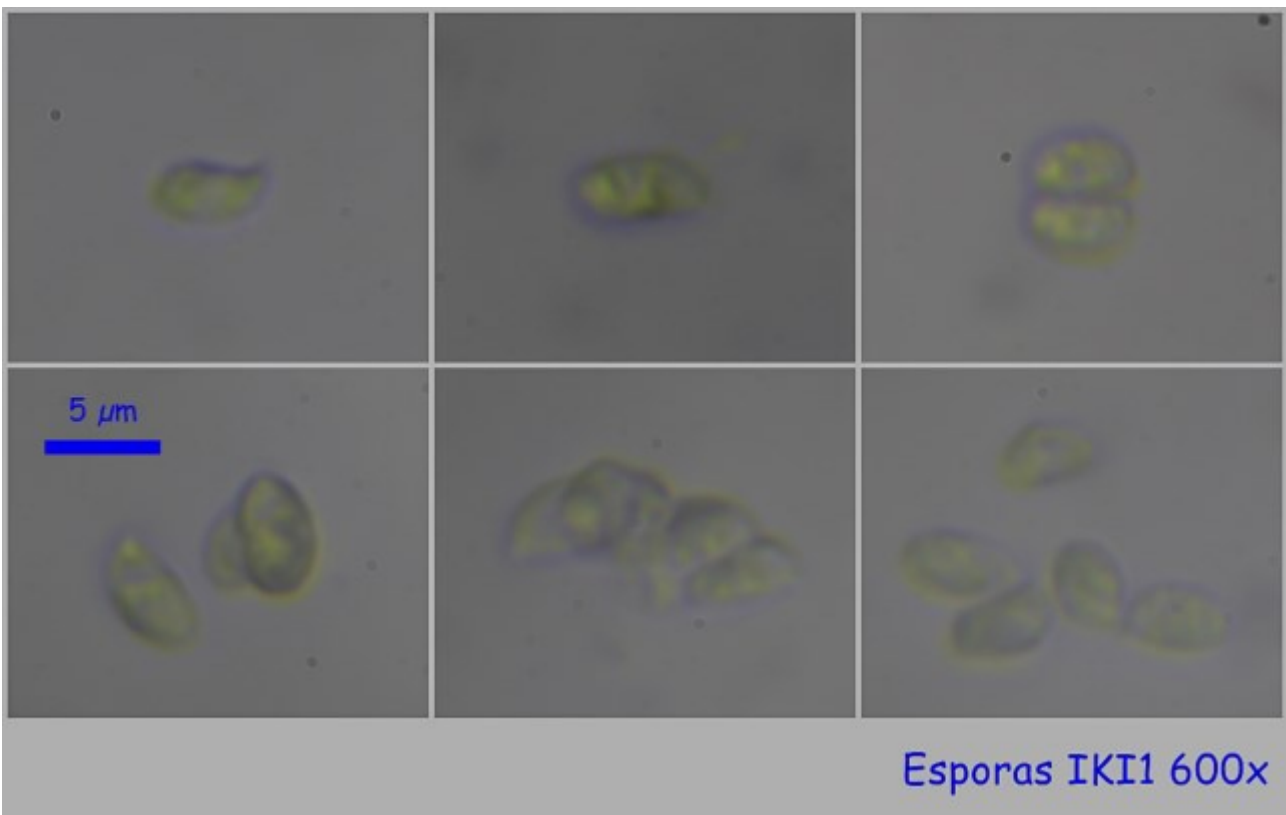
**Sombbrero** de campanulado a aplanado, mamelonado, con restos dentados del velo de color blanquecino. **Cutícula** cubierta de pequeñas escamas granuladas, de color ocre amarillento, ocre anaranjado y con el centro más rojizo. **Láminas** de adnadas a sub-decurrentes, apretadas y de color blanquecino. **Pie** cilíndrico, amarillo y liso por encima del anillo, concoloro con el sombrero y cubierto de escamas pruinosas por debajo. **Anillo** de color pajizo u ocráceo, floconoso, disociado y poco consistente.

Descripción microscópica:

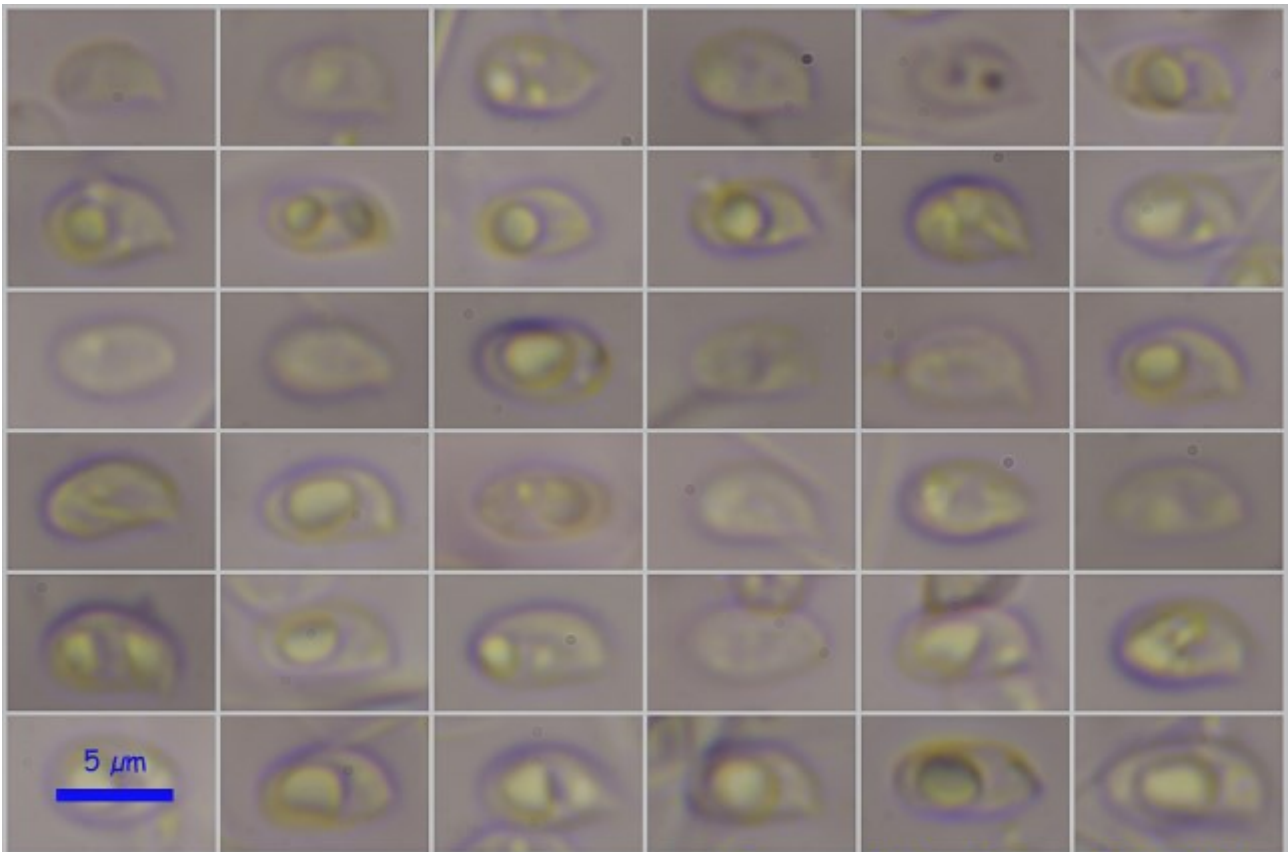
**Basidios** cilíndricos a claviformes, tetraspóricos, con fíbula basal y de  $23,0 - 24,9 \times 4,5 - 5,6 \mu\text{m}$ ;  $N = 7$ ;  $Me = 24,0 \times 5,1 \mu\text{m}$ . **Basidiosporas** elipsoidales, lisas, apiculadas, gutuladas, amiloides y de  $(-5,0) 5,3 - 6,2 (7,4-) \times (3,0-) 3,1 - 3,9 (4,4-) \mu\text{m}$ ;  $Q = (-1,3) 1,5 - 1,8 (2,0-)$ ;  $N = 47$ ;  $Me = 5,8 \times 3,5 \mu\text{m}$ ;  $Qe = 1,7$ . **Pileocutis** constituida por células globosas incrustadas de pigmento amarillo y células alargadas fibuladas.



A. Basidios.

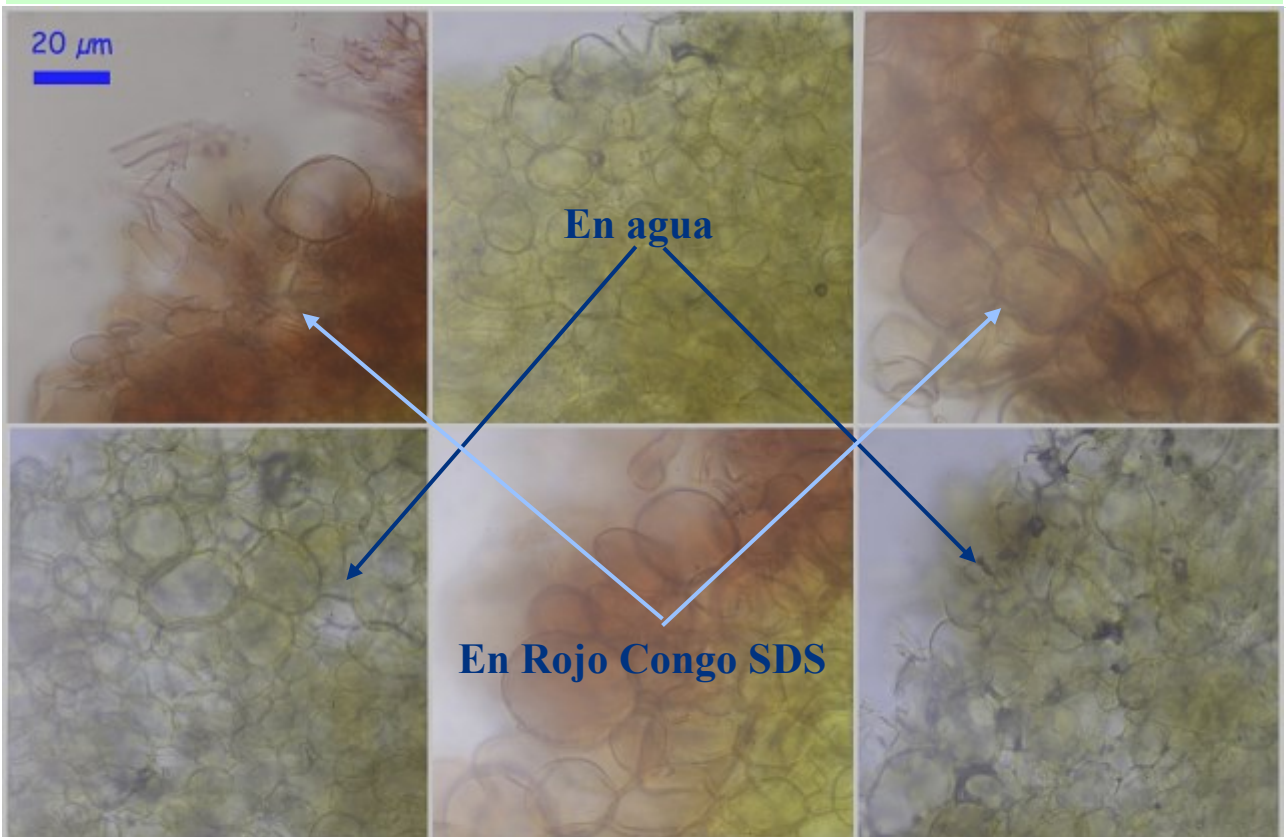


B. Esporas.



Esporas Rojo Congo SDS 600x  
 (5,0) 5,3 - 6,2 (7,4) × (3,0) 3,05 - 3,9 (4,4) μm  
 Q = (1,3) 1,5 - 1,8 (2,0); N = 47; Me = 5,8 × 3,5 μm; Qe = 1,7

C. Esporas.



Píleo-cutis 400x

D. Píleo-cutis.

## Observaciones

Muy variable en color, diferenciándose por sus esporas amiloides, ausencia de cistidios y anillo flooso, no membranoso. *Cystoderma jasonis* (Cke. & Mass.) Harm. es parecido macroscópicamente, también con anillo flooso y esporas amiloides, pero son ligeramente más largas, hasta 8  $\mu\text{m}$ , y, sobre todo, por la presencia de atrosporas anguloso redondeadas en la pileocutis. *C. granulorum* (Batsch: Fr.) Fay. y *C. terrei* (Berk. & Br.) Harm. tienen esporas no amiloides y, además, en el caso de *C. terrei*, hay presencia de queilos y pleurocistidios. (BREITENBACH J. & KRÄNZLIN F., 1995).

## Otras descripciones y fotografías

- BREITENBACH J. & KRÄNZLIN F. (1995). *Fungi of Switzerland Vol. 4. Agarics 2nd. part. Mykologia Lucern*. Pág. 184.



Salvo indicación en contrario, las fotos están realizadas por Demetrio Merino.